

с координатами  $\chi = 37,3333$ ,  $z = 0,1111$  виден на рис. 2. Кривые соответствуют источнику с параметрами  $\chi_0 = 0,9643$ ,  $\chi_1 = 0$ ,  $N = 10$ .

Рис. 3 иллюстрирует зависимость амплитуды давлений от горизонтальной координаты  $x$  при  $z = 0,1111$  в момент времени  $t = 37,3333$  для импульсного источника с заполнением  $\chi_0 = 2,3559$ ,  $\chi_1 = 3,2143$ ,  $N = 5$ .

Численный эксперимент показывает, что область вблизи переднего фронта волнового пакета определяется ограниченным количеством наиболее быстрых первых мод с учетом их переотражений. В дальнейшей его структуре существует увеличивающееся количество мод, влияние же их переотражений спадает.

#### ЛИТЕРАТУРА

1. Шендеров Е. Л. Излучение и рассеяние звука.—Л.: Судостроение, 1989.
2. Берктай Х. О., Мустафа А. Х. А. Прохождение узкого звукового пучка через границу между двумя жидкостями // Акустика дна океана.—М.: Мир, 1984.
3. Skudrzyk E. The foundation of acoustics.—Wien; N. Y.: Springer, 1971.
4. Поручиков В. Б. Методы динамической теории упругости.—М.: Наука, 1986.
5. Габов С. А. О решении одной задачи динамики стратифицированной жидкости и его стабилизации при  $t \rightarrow \infty$  // ЖВММФ.—1985.—Т. 25, № 5.
6. Золотарев А. А., Золотарева Л. И. Метод факторизации в неустановившихся задачах о возбуждении гравитационно-упругих волн в жидкости с частично свободной границей // Изв. АН СССР. МЖГ.—1985.—№ 6.
7. Нобл Б. Метод Винера—Хопфа.—М.: ИЛ, 1962.
8. Ворович И. И., Бабешко В. А. Динамические смешанные задачи теории упругости для неклассических областей.—М.: Наука, 1979.
9. Werner P. Ein Resonanzphänomen in der Theorie akustischer und elektromagnetischer Wellen // Math. Meth. Appl. Sci.—1984.—V. 6.

2. Ростов-на-Дону

Поступила 10/X 1988 г.,  
в окончательном варианте — 27/IV 1989 г.

УДК 532.526

B. A. Батищев

#### ВЛИЯНИЕ ТЕРМОКАПИЛЛЯРНОГО ЭФФЕКТА НА ФОРМУ СВОБОДНОЙ ГРАНИЦЫ ПРИ БОЛЬШИХ ЧИСЛАХ МАРАНГОНИ

1. При малых коэффициентах вязкости  $v \rightarrow 0$  и температуропроводности  $\chi \rightarrow 0$  рассматривается нелинейная стационарная задача о течении вязкой теплопроводной жидкости в неограниченной области  $D$  под действием термокапиллярных сил, вызванных неравномерным нагревом свободной границы  $\Gamma$ :

$$(1.1) \quad (\mathbf{v}, \nabla) \mathbf{v} = -(1/\rho) \nabla p + v \Delta \mathbf{v} + \mathbf{g}, \mathbf{v} \nabla T = \chi \Delta T, \operatorname{div} \mathbf{v} = 0;$$

$$(1.2) \quad p = 2v\rho n \Pi n + \sigma(k_1 + k_2) + p_*, \quad (x, y, z) \in \Gamma,$$

$$2v\rho \Pi n - 2v\rho(n\Pi n)n = \nabla_1 \sigma, \quad \mathbf{v}n = 0, \quad (x, y, z) \in \Gamma,$$

$$\chi \partial T / \partial n = q, \quad (x, y, z) \in \Gamma_1, \quad T = T_\Gamma, \quad (x, y, z) \in \Gamma_2,$$

$$\mathbf{v} = 0, \quad \partial T / \partial n = 0, \quad (x, y, z) \in L.$$

Здесь  $\mathbf{v} = (v_x, v_y, v_z)$  — вектор скорости;  $T$  — температура;  $\mathbf{g} = -g\mathbf{e}_z$  ( $\mathbf{e}_z = (0, 0, 1)$  — орт оси  $z$ ,  $g$  — ускорение силы тяжести);  $\mathbf{n}$  — единичный вектор внешней нормали к свободной границе  $\Gamma$ ;  $\Pi$  — тензор скоростей деформации;  $k_1$  и  $k_2$  — главные кривизны поверхности  $\Gamma$ ;  $p_* = \text{const}$  — давление на  $\Gamma$ ;  $\nabla_1 = \nabla - (\mathbf{n} \nabla) \mathbf{n}$  — градиент вдоль  $\Gamma$ ;  $\sigma$  — коэффициент поверхностного натяжения, считается линейной функцией температуры  $\sigma = \sigma_0 + \sigma_T(T - T_*)$  ( $\sigma_0, \sigma_T, T_*$  — известные константы

$(\sigma_T < 0)$ ;  $L$  — твердая граница. Поверхность  $\Gamma$  состоит из двух частей  $\Gamma_1$  и  $\Gamma_2$ ;  $q(x, y, z)$  — заданный тепловой поток на  $\Gamma_1$ ;  $\kappa$  — коэффициент теплопроводности. Поле скоростей на бесконечности исчезает.

При исчезающих коэффициентах вязкости и теплопроводности вблизи границ областей формируются нелинейные пограничные слои. В неограниченной области всюду вне пограничных слоев течение приближенно описывается уравнениями Эйлера. В [1–5] изучены нелинейные пограничные слои Марангони, возникающие вблизи свободной границы вследствие термокапиллярного эффекта. В [6] получены асимптотические разложения при  $v \rightarrow 0$  решения стационарной задачи о течении жидкости под действием касательных напряжений.

Ниже исследуются формальные асимптотические разложения решения задачи (1.1), (1.2) при  $v, \chi \rightarrow 0$ . Задача приводится к безразмерному виду и вводится малый параметр  $\epsilon = M^{-1/3}$  ( $M = |\sigma_T|dQ\rho^{-1}v^{-2}\kappa^{-1}$  — число Марангони,  $d$  и  $Q$  — характерные масштабы длины и теплового потока). Для безразмерного давления  $p'$  имеем соотношение  $p = Pp' - \rho gz$  ( $P = \sigma_0/d$  — масштаб давления). Характерное значение скорости в пограничном слое вблизи свободной границы  $U = (\sigma_T^2 Q^2 v^{-1} d^{-1} \kappa^{-2} \rho^{-2})^{1/3}$  принимается за масштаб скорости. Асимптотические разложения решения задачи (1.1), (1.2) строятся как

$$(1.3) \quad \mathbf{v} \sim \mathbf{h}_0 + \epsilon(\mathbf{h}_1 + \mathbf{v}_1 + \mathbf{w}_1) + \dots, \quad p' \sim \lambda q_0 + \epsilon \lambda (p_1 + q_1 + r_1) + \dots, \\ T \sim \theta_0 + T_0 + t_0 + O(\epsilon), \quad \xi \sim \xi_0 + \epsilon \xi_1 + \dots,$$

где  $\lambda = |\sigma_T| Q \sigma_0^{-1} \kappa^{-2}$  — капиллярная константа [3];  $z = \xi(x, y)$  — уравнение свободной границы. Обозначим  $D_\Gamma$  — область пограничного слоя вблизи свободной границы, а  $D_L$  — вблизи твердой стенки. Тогда  $\mathbf{h}_k$ ,  $q_k$ ,  $\vartheta_0$  — функции типа решений задачи пограничного слоя в  $D_\Gamma$ ;  $\mathbf{w}_1$ ,  $r_1$ ,  $t_0$  — в  $D_L$ , а  $\mathbf{v}_1$ ,  $p_1$ ,  $T_0$  определяют решение вне  $D_L$  и  $D_\Gamma$ . Порядки главных членов в разложениях (1.3) находятся из условий равенства порядков вязких и инерционных членов с системе Навье — Стокса (1.1) и в краевых условиях (1.2) для касательных напряжений. В этом случае толщина пограничного слоя в области  $D_\Gamma$  имеет порядок  $\epsilon$ .

2. Краевая задача для главных членов асимптотики (1.3), определяющих течение в пограничном слое вблизи свободной границы, получается применением к системе (1.1), (1.2) второго итерационного процесса методом Вишика — Люстерника [7]. Вблизи поверхности  $\Gamma$  вводятся локальные ортогональные координаты  $\xi, \varphi, \theta$  [6] ( $\xi$  — расстояние от точки  $N(x, y, z)$  до  $\Gamma$ ;  $\varphi, \theta$  — криволинейные координаты на  $\Gamma$  основания нормали, опущенной из точки  $N$  на  $\Gamma$ ). Предполагается, что отрезки нормалей к поверхности  $\Gamma$  при достаточно малых  $\xi$  не пересекаются.

Пусть  $h_{\varphi k}, h_{\theta k}, h_{\xi k}$  — компоненты вектора  $\mathbf{h}_k$  в локальных координатах. Функцию  $T_0 = 0$  возьмем в качестве решения вырожденной для (1.1), (1.2) задачи при  $v = \chi = 0$ . Подставляем (1.3) в (1.1), (1.2), разлагаем  $\mathbf{v}_1, p_1$  в ряды Тейлора по степеням  $\xi$  и вводим преобразование растяжения  $\xi = \epsilon s$ . Обозначим  $H_{\xi 1} = h_{\xi 1} + \mathbf{v}_1 \cdot \mathbf{n}|_\Gamma$ . Приравнивая нуль коэффициенты при  $\epsilon^{-1}, \epsilon^0$ , получим, что  $h_{\xi 1} = 0$ , а  $h_{\varphi 0}, h_{\theta 0}, H_{\xi 1}$  удовлетворяют уравнениям пограничного слоя Прандтля. Приведем краевую задачу для  $h_{\varphi 0}, H_{\xi 1}, \theta_0$  в плоском случае, считая координату  $\varphi$  длиной дуги вдоль поверхности  $\Gamma$ :

$$(2.1) \quad \begin{aligned} h_{\varphi 0} \partial h_{\varphi 0} / \partial \varphi + H_{\xi 1} \partial h_{\varphi 0} / \partial s &= \partial^2 h_{\varphi 0} / \partial s^2, \\ h_{\varphi 0} \partial \theta_0 / \partial \varphi + H_{\xi 1} \partial \theta_0 / \partial s &= Pr^{-1} \partial^2 \theta_0 / \partial s^2, \quad \partial h_{\varphi 0} / \partial \varphi + \partial H_{\xi 1} / \partial s = 0, \\ \partial h_{\varphi 0} / \partial s &= - \partial \theta_0 / \partial \varphi, \quad \partial \theta_0 / \partial s|_{\Gamma_1} = - Pr^{-1/2} q, \quad \theta_0|_{\Gamma_2} = \theta_a, \quad H_{\xi 1} = 0 \quad (s = 0), \\ h_{\varphi 0} &= h_{\xi 1} = \theta_0 = 0 \quad (s = \infty) \end{aligned}$$

( $Pr$  — число Прандтля,  $q(\varphi)$  — заданный безразмерный тепловой поток на  $\Gamma_1$ ). Отметим, что задача (2.1) при  $\theta_0 = 0$  для заданных касательных

напряжений на  $\Gamma$  и заданном начальном профиле скорости в области  $D$  исследована в [5], где выписаны условия ее разрешимости.

Найдем значение  $q_0$  на свободной границе. Следуя [6], выводим формулу для  $q_0$  в  $D_\Gamma$ :

$$(2.2) \quad q_0 = -k_1 \int_s^\infty h_{\varphi 0}^2 ds - k_2 \int_s^\infty h_{\theta 0}^2 ds.$$

Подставляя (2.2) в краевое условие (1.2) для нормальных напряжений и устремляя  $v$  к нулю, получим уравнение свободной границы в главном приближении (в размерной форме)

$$(2.3) \quad \sigma(k_1 + k_2) + k_1 \int_0^\infty h_{\varphi 0}^2 ds + k_2 \int_0^\infty h_{\theta 0}^2 ds = \rho g z + c.$$

Данная формула легко упрощается для плоской задачи. В этом случае, интегрируя первое уравнение (2.1) сначала по  $s$  на полуоси  $(0, \infty)$ , а затем по  $\varphi$  на отрезке  $[\varphi_0, \varphi]$ , имеем соотношение

$$(2.4) \quad \int_0^\infty h_{\varphi 0}^2 ds = [\theta_0(\varphi) - \theta_0(\varphi_0)]_{s=0} + \int_0^\infty f_0^2(s) ds$$

$(f_0(s) = h_{\varphi 0}(s, \varphi_0)$  — профиль скорости в сечении  $\varphi = \varphi_0$ ). Подставляем (2.4) в (2.3), полагаем  $k_2 = 0$  и, представляя безразмерный коэффициент поверхностного натяжения в виде  $\sigma = 1 - \lambda \theta_0|_\Gamma$ , выводим уравнение свободной границы в безразмерной форме

$$(2.5) \quad k_1 \left[ 1 - 2\lambda T_\Gamma(\varphi) + \lambda T_\Gamma(\varphi_0) + \int_0^\infty f_0^2 ds \right] = Bz + c,$$

где  $T_\Gamma$  — значение температуры  $\theta_0$  на свободной границе,  $B = \rho g d^2 / \sigma_0$  — число Бонда. Таким образом, функция  $\zeta_0$  в (1.3) находится решением уравнений (2.3) или (2.5).

Невязкое течение вне  $D_L$ ,  $D_\Gamma$  получается применением первого итерационного процесса [7] к (1.1), (1.2). Главные члены асимптотических разложений (1.3)  $v_1$ ,  $p_1$  находятся путем решения краевой задачи

$$\begin{aligned} (\mathbf{v}_1, \nabla) \mathbf{v}_1 &= -\nabla p_1, \operatorname{div} \mathbf{v}_1 = 0, \\ \mathbf{v}_1 \mathbf{n}_0|_{\Gamma_0} &= H_{\xi 1}|_{\xi=\infty}, \quad \mathbf{v}_1 \mathbf{n}_1|_{L=0} = 0, \quad \mathbf{v}_1 = 0 \quad (x^2 + y^2 + z^2 = \infty) \end{aligned}$$

( $\Gamma_0$  — поверхность  $z = \zeta_0$ ,  $\mathbf{n}_0$  — вектор нормали к  $\Gamma_0$ ,  $\mathbf{n}_1$  — вектор нормали к твердой стенке).

Вектор-функция  $\mathbf{w}_1$  определяет поле скоростей в пограничном слое вблизи твердой границы и компенсирует невязку, возникающую при выполнении вектором  $\mathbf{v}_1$  условия прилипания на  $L$ . Краевая задача для  $\mathbf{w}_1$ ,  $r_1$  не приводится, так как эти функции дают вклад в уравнение свободной границы в высших приближениях, начиная со второго.

3. Рассмотрим плоскую задачу о расчете формы свободной границы капиллярной жидкости, налитой на твердую горизонтальную поверхность и смачивающей ее в полуплоскости  $x \geq 0$ . Обозначим  $\beta$  — угол смачивания, образуемый жидкостью на линии смачивания  $x = 0$  с твердой стенкой. Предположим, что на части свободной границы  $\Gamma_1$  задан постоянный тепловой поток  $q = \text{const}$  при  $\varphi \in [0, l]$ , а при  $\varphi > l$  задана постоянная температура ( $\varphi$  — длина дуги, отсчитываемая от точки контакта вдоль свободной границы). Приведем решение системы уравнений пограничного слоя (2.1) на участке  $\Gamma_1$  при  $q = 1$ . В [2] найдены автомодельные решения уравнений температурного пограничного слоя вблизи поверхности раздела двух несмешивающихся жидкостей. Система (2.1) допускает решение  $h_{\varphi 0} = f'(\eta)$ ,  $\theta_0 = V_{\bar{\varphi} \tau}(\eta)$ ,  $\eta = s/V_{\bar{\varphi}}$ . Для  $f(\eta)$ ,  $\tau(\eta)$  выводим краевую задачу (начальный профиль задавать не надо, так как он удовлетворяет

условию автомодельности)

$$(3.1) \quad \begin{aligned} 2f''' + ff'' &= 0, 2\Pr^{-1}\tau'' + f\tau' - f'\tau = 0, \\ f(0) &= 0, f''(0) = -0.5\tau(0), \tau'(0) = -\Pr^{-1/2}, f'(\infty) = \tau(\infty) = 0. \end{aligned}$$

Полученная система для различных чисел Прандтля интегрировалась численно с применением метода Рунге — Кутта. При фиксированных значениях  $\Pr$  функции  $f'(\eta)$  и  $\theta(\eta)$  монотонно убывают с ростом  $\eta$ , а при больших  $\eta$  затухание скорости тем больше, чем меньше  $\Pr$ . Профили скоростей для различных  $\Pr$  пересекаются, а профили температур — нет. С ростом  $\Pr$  толщина динамического (скоростного) пограничного слоя увеличивается, а толщина температурного — уменьшается. На рис. 1 изображены графики зависимостей скорости  $f'(0)$  (кривая 1) и температуры  $\tau(0)$  (2) от числа Прандтля на свободной границе.

Расчет формы свободной границы проводится интегрированием уравнения (2.5), где полагается  $\varphi_0 = 0$  и  $f_0 = 0$  (так как  $h_{\varphi_0} = 0$  при  $\varphi = 0$ ). Уравнение (2.5) с учетом решения задачи (3.1) записывается в виде

$$(3.2) \quad \zeta''(1 + \zeta'^2)^{-3/2}(1 + \lambda F(\varphi)) = B\zeta_0 + c$$

(штрих обозначает производную по  $x$ ;  $F(\varphi) = \tau(0)(2\sqrt{\varphi} - \sqrt{l})$  при  $0 \leq \varphi \leq l$  и  $F(\varphi) = \tau(0)\sqrt{l}$  при  $\varphi > l$ ). Для задачи (3.2) ставятся краевые условия  $\zeta'_0(0) = \operatorname{tg} \beta$ ,  $\zeta_0(0) = 0$  ( $\beta$  — угол смачивания). Уравнение (3.2) численно интегрировалось для различных  $\lambda$  и  $\beta$  при  $B = 1$ ,  $\Pr = 7$  и  $\tau(0) = 0,2235$ . В расчетах полагалось  $l = 9$ , при этой длине дуги свободная граница выходит на горизонтальную асимптоту. При интегрировании (3.2) переписывалось в параметрической форме с длиной дуги в качестве параметра. Неизвестная постоянная  $c$  определялась при дополнительном условии  $\zeta'_0(\infty) = 0$ . Толщина слоя жидкости на бесконечности находилась по формуле  $H = -cB^{-1}$ . Расчеты проводились при значениях  $\lambda$  в интервале  $0 \leq \lambda < \lambda_* = 1,4914$ . При  $\lambda = \lambda_*$  коэффициент перед старшей производной в (3.2) обращался в нуль для  $\varphi = 0$ .

На рис. 2 приведены зависимости угла контакта  $\beta$  от параметра  $\lambda$ , характеризующего величину теплового потока. Вдоль кривых 1—4 толщина слоя  $H$  постоянна и соответственно равна 1,85; 1,5; 1; 0,5. С ростом  $\lambda$   $\beta$  увеличивается и тем быстрее, чем больше толщина слоя. Для каждого  $H$  максимальное  $\beta$  равно  $\pi$  и достигается при некотором  $\lambda_1 \leq \lambda_*$ ; так,  $\lambda_1 = 0,5$  при  $H = 1,85$ . При убывании  $H$   $\lambda_1$  возрастает и  $\lambda_1 \rightarrow \lambda_*$  при  $H \rightarrow 0$ . Рассчитанная зависимость  $H$  от величины угла  $\beta$  показала, что при фиксированном  $\lambda$   $H$  монотонно увеличивается с ростом  $\beta$  и достигает максимума при  $\beta = \pi$ . Это максимальное значение равно двум при  $\lambda = 0$  и убывает до нуля с ростом  $\lambda$ .

Полученные результаты позволяют рассчитать форму плоского мениска, примыкающего к твердой вертикальной стенке. Теперь жидкость заполняет бесконечную область, ограниченную стенкой  $x = 0$  и свободной границей  $z = \zeta(x)$ . Уравнение (3.1) интегрируется при условиях  $\zeta'_0(0) = \operatorname{tg} \beta$ ,  $\zeta_0(\infty) = 0$ , где  $\beta$  — острый угол между касательной к свободной границе и осью  $x$  при  $x = 0$ . Функция  $F(\varphi)$  остается прежней. Постоянная  $c = 0$  в (3.2). При  $0 \leq \lambda < \lambda_*$  высота мениска  $h = \zeta_0(0)$  монотонно возрастает с ростом  $\beta$  и достигает максимального значения при  $\beta = \pi/2$ . Этот максимум равен  $\sqrt{2}$  при  $\lambda = 0$ . При фиксированном  $\beta$  высота мениска убывает с ростом  $\lambda$  и обращается в нуль при  $\lambda = \lambda_* = 1,491$ .

Отметим, что в (1.3) не входят функции пограничного слоя, проявляющие себя в области  $D_1$  — окрестности точки контакта свободной границы и твердой стенки. В  $D_1$  асимптотические разложения носят более сложный характер, чем (1.3). Уравнения пограничного слоя в  $D_1$  совпадают с полными уравнениями Навье — Стокса. Функ-

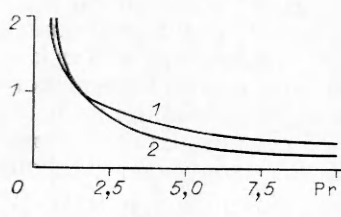
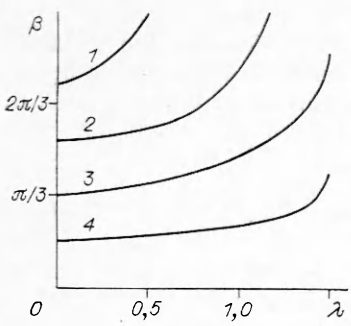
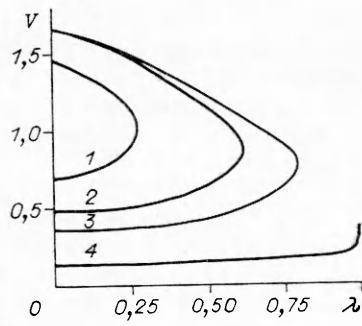


Рис. 1



Р и с. 2



Р и с. 3

ции пограничного слоя дают вклад в уравнение свободной границы лишь в высших приближениях и потому здесь не учитываются. Асимптотические исследования системы Навье — Стокса вблизи точки контакта проведены в [8, 9].

4. Рассмотрим осесимметричную задачу о расчете формы свободной границы капли, вытекающей из отверстия в плоской горизонтальной стенке. Свободная поверхность опирается на кромку круглого отверстия радиуса  $R$ . Предположим, что на свободной границе задано распределение температуры  $T - T_* = ARf(\varphi)$  ( $\varphi$  — безразмерная длина дуги в осевом сечении, отсчитываемая от оси симметрии). Введем параметр  $\lambda = |\sigma_T| AR\sigma_0^{-1}$ , характеризующий величину градиента температуры вдоль свободной границы. Так как имеет место осевая симметрия  $h_{\varphi_0} = 0$ , из уравнений пограничного слоя получаем, что для  $h_{\varphi_0}$  справедливо соотношение

$$(4.1) \quad \int_0^\infty h_{\varphi_0}^z ds = \frac{1}{r} \int_0^\varphi r(\varphi) \frac{d\sigma}{d\varphi} d\varphi$$

( $r = r(\varphi)$ ,  $z = z(\varphi)$  — параметрические уравнения свободной границы в цилиндрических координатах). Здесь учтено, что  $h_{\varphi_0} \rightarrow 0$  при  $\varphi \rightarrow 0$ . Свободная граница удовлетворяет уравнению (2.3), которое, согласно (4.1), приводится в безразмерной форме к системе уравнений

$$(4.2) \quad \frac{(rz')'}{rr'} (1 - \lambda f) - \lambda \frac{r'z'' - r''z'}{r} \int_0^\varphi r f' d\varphi = zB + c, \quad r'^z + z'^z = 1.$$

Помещая начало системы координат на свободную границу на оси симметрии, записываем краевые условия  $r(0) = z(0) = z'(0) = 0$ ,  $r'(0) = 1$ . Система (4.2) интегрируется численно с применением метода Рунге — Кутта. При  $\varphi \rightarrow 0$  решение системы разлагается в ряд по степеням  $\varphi$  и сращивается с численным. Задаются число Бонда, параметр  $\lambda$ , функция  $f(\varphi)$ , а определяются постоянная  $c$ , объем  $V$  и угол  $\beta$  ( $\pi - \beta$  — угол в точке контакта между касательной к осевому сечению свободной границы и горизонтальной твердой стенкой).

В случае  $f(\varphi) = \exp(-\varphi)$  расчеты проведены при  $B = -1$ , постоянном  $V = 1$  и для различных  $R$ . Заметим, что при фиксированном  $R$  могут существовать несколько форм свободной границы с разными  $\beta$ . Для первой ветви решений с ростом  $\lambda$  угол  $\beta$  уменьшается от некоторого  $\beta_0$  при  $\lambda = 0$  до  $\beta_1$  при  $\lambda = \lambda_*$ . Решение не существует при  $\lambda > \lambda_*$ ,  $\lambda_*$  зависит от  $R$  и увеличивается с ростом  $R$ , однако не превосходит единицы. Например,  $\lambda_* = 0,6$ ,  $\beta_0 = 87,6^\circ$ ,  $\beta_1 = 60,8^\circ$  при  $R = 0,975$ . Для второй ветви решений с убыванием  $\lambda$   $\beta$  уменьшается от  $\beta_1$  при  $\lambda = \lambda_*$  до некоторого  $\beta_3$  при  $\lambda = 0$ .

При  $f(\varphi) = 1 - \varphi$  ( $0 \leq \varphi \leq 1$ ),  $f(\varphi) = 0$  ( $\varphi > 1$ ) расчеты проведены при постоянном  $R = 1$  для  $B = -1$  и при различных значениях  $V$ .

При заданном  $V$  могут существовать несколько решений. Для первой ветви решений при фиксированном  $\beta$  с ростом  $\lambda$  объем капли увеличивается от  $V_1$  при  $\lambda = 0$  до  $V_2$  при  $\lambda = \lambda_1$ . Решение не существует при  $\lambda > \lambda_1$ ,  $\lambda_1$  зависит от  $\beta$  и возрастает от 0 до 1 при убывании  $\beta$  от  $86^\circ$  до 0. Для второй ветви решений объем капли увеличивается от  $V_2$  при  $\lambda = \lambda_1$  до  $V_3$  при  $\lambda = 0$ . Например,  $V_1 = 0,36$ ,  $V_2 = 0,78$ ,  $V_3 = 1,66$ ,  $\lambda_1 = 0,79$  при  $\beta = 60^\circ$ .

На рис. 3 приведены зависимости  $V$  от  $\lambda$ . Кривые 1—4 отвечают  $\beta = 80, 70, 60, 30^\circ$ . Максимальное значение  $\lambda$  равно единице, ему соответствует критическая температура на свободной границе, при которой коэффициент поверхностного натяжения обращается в нуль.

5. Рассмотрим влияние термокапиллярного эффекта на форму свободной границы жидкости, заполняющей горизонтальный слой с толщиной порядка толщины пограничного слоя  $\varepsilon$ . Здесь  $\varepsilon = M^{-1/3}$  ( $M = |\sigma_T| A_1 L^2 \rho^{-1} v^{-2}$  — число Марангони,  $A_1$  — характерный масштаб градиента температуры,  $L$  — характерный горизонтальный масштаб). Обозначим  $U_1 = (|\sigma_T|^2 A_1^2 L \rho^{-2} v^{-1})^{1/3}$  характерную скорость в пограничном слое, тогда безразмерное давление  $p'$  введем по формуле  $p = \rho U^2 p' - \rho g z$ . Примем  $B_1 = \rho g h^2 \sigma_0^{-1}$  — число Бонда. Рассчитаем плоское термокапиллярное течение в области, ограниченной свободной границей  $\Gamma$  и твердой стенкой, вызванное нагревом свободной границы при заданной постоянной температуре стенки. При  $\varepsilon \rightarrow 0$  асимптотические разложения решения задачи (1.1), (1.2) ( $\Gamma_1$  — пустое множество) строятся в виде рядов

$$(5.1) \quad \mathbf{v} \sim \mathbf{h}_0 + \varepsilon \mathbf{h}_1 + \dots, \quad \zeta \sim \varepsilon \zeta_1 + \dots, \quad p' \sim q_0 + \varepsilon q_1 + \dots, \\ T \sim \tau_0 + \varepsilon \tau_1 + \dots$$

Уравнения для главных членов асимптотики выводятся с помощью второго итерационного процесса методом Вишника — Люстерника [7]. В (5.1), в отличие от рядов (1.3), отсутствуют коэффициенты, определяющие внешнее решение, так как вся область течения полностью совпадает с областью пограничного слоя. Пусть  $\psi(s, x)$  — функция тока ( $s = z/\varepsilon$ ), тогда  $h_{x0} = \partial\psi/\partial s$ ,  $h_{z0} = 0$ ,  $h_{z1} = -\partial\psi/\partial x$ . Краевая задача для главных членов разложений (5.1) приводится к виду

$$(5.2) \quad \frac{\partial\psi}{\partial s} \frac{\partial^2\psi}{\partial x \partial s} - \frac{\partial\psi}{\partial x} \frac{\partial^2\psi}{\partial s^2} = \frac{\partial^3\psi}{\partial s^3} - \frac{\partial q_0}{\partial x}, \quad \frac{\partial q_0}{\partial s} = 0, \quad \frac{\frac{\partial\psi}{\partial s}}{\partial s} \frac{\partial\tau_0}{\partial x} - \frac{\frac{\partial\psi}{\partial s}}{\partial x} \frac{\partial\tau_0}{\partial s} = Pr^{-1} \frac{\partial^2\tau_0}{\partial s^2}, \\ \frac{\partial^2\psi_0}{\partial s^2} = \partial\tau_\Gamma/\partial x, \quad \psi = 0, \quad \tau = \tau_\Gamma(x) \quad (s = \zeta_1(x)), \\ \partial\psi/\partial x = \partial\psi/\partial s = 0, \quad \tau_0 = \text{const} \quad (s = 0).$$

Здесь  $\tau_\Gamma(x)$  — распределение температуры вдоль свободной границы. Из динамического краевого условия на свободной границе следует соотношение  $\lambda q_0 = B_1 \zeta_1$  ( $\lambda = |\sigma_T| A_1 L \sigma_0^{-1}$  — безразмерный градиент температуры).

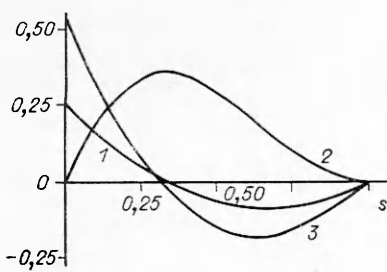
Система (5.2) допускает автомодельное решение. Пусть распределение температуры вдоль свободной границы задано степенным законом  $\tau_\Gamma = -1,25\tau x^{4/5}$ . Легко показать, что

$$\psi = -x^{-3/5}\tau^{1/3}b^2\Phi(\xi), \quad \zeta_1 = b\tau^{-1/3}x^{2/3}, \quad \xi = 1 - sx^{-2/5}\tau^{1/3}b^{-1}.$$

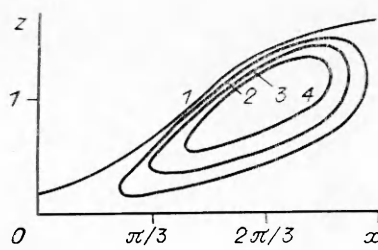
Функция  $\Phi(\xi)$  и параметр  $b(\tau)$  определяются путем решения краевой задачи

$$(5.3) \quad 5\Phi''' - b^3\Phi'^2 + 3b^3\Phi\Phi'' = 5\alpha b^2, \quad \Phi(0) = \Phi(1) = \Phi'(1) = 0, \quad \Phi''(0) = -1 \\ (\alpha = 2\lambda^{-1}\tau^{-5/3}/3). \quad \text{Задача (5.3) решена численно. При } \alpha = 1 \text{ получены значения } b = 1,218 \text{ и } \Phi'(0) = 0,249.$$

На рис. 4 даны профили продольной компоненты скорости  $\Phi'(\xi)$  (кривая 1) и функции  $10\Phi(\xi)$  (2). Наибольшее значение скорости достигается на свободной границе. В области  $0 \leq z \leq 0,66\zeta_1$  возникает зона



Р и с. 4



Р и с. 5

противотока с максимальной скоростью, приблизительно втрое меньшей скорости на свободной границе.

Задача (5.2) решена методом Галеркина для случая гармонического распределения температуры  $\tau_a = \tau_a \sin x$ . Неизвестная область течения  $D_\Gamma$  отображена в прямолинейную полосу с помощью преобразования  $\eta = 1 - s\zeta^{-1}(x)$ . Функция тока и возвышение свободной границы представлены рядами

$$\psi = \sum_{k=0}^N \psi_k(\eta) \sin kx, \quad \zeta_1 = \zeta_{10} + \sum_{k=1}^N \zeta_{1k} \cos kx.$$

Коэффициенты  $\psi_k$ ,  $\zeta_{1k}$  удовлетворяют системе обыкновенных дифференциальных уравнений, которые решены численно методом пристрелки. В расчетах полагалось  $N = 3$ ,  $\lambda = 0,143$  и  $L = 5$ . Средняя толщина слоя 0,1 см,  $B = 0,055$ . Это соответствует градиенту температуры  $A_1 = 10$  град/см и параметру  $\varepsilon = 0,0126$ .

На рис. 5 приведена картина линий тока при  $\tau_a = 0,2$  в одной ячейке. Линии тока на отрезке  $[\pi, 2\pi]$  симметричны относительно прямой  $x = \pi$ . Кривая 1 изображает форму свободной границы, 2—4 — линии тока  $\psi = c$  при  $c = 0,002; 0,004; 0,006$ . На рис. 4 (кривая 3) представлен профиль скорости  $-10h_{x_0}$  в сечении  $x = 0,5\pi$ . Расчеты показали, что максимум скорости достигается на свободной границе. Вдоль нее скорость увеличивается от нуля при  $x = 0$  до максимального значения и далее убывает до нуля при  $x = \pi$ . С ростом амплитуды температуры  $\tau_a$  толщина слоя в точке  $x = 0$  уменьшается, а в точке  $x = \pi$  увеличивается. При  $\tau_a = \tau_* = 0,28$  свободная граница касается твердой стенки в точке  $x = 0$ . При  $\tau_a > \tau_*$  жидкий слой разбивается на полосы, которые смачивают твердую стенку в областях  $\pi - \alpha + 2\pi m \leq x \leq \pi + \alpha + 2\pi m$  ( $m = 0, \pm 1, \dots$ ), вне их стенка не смочена. Значения  $\alpha$  зависят от  $\tau_a$  и находятся численно, например,  $\alpha = 0,144$  при  $\tau_a = 0,35$ .

#### ЛИТЕРАТУРА

1. Napolitano L. G. Marangoni boundary layers // Proc. 3rd Europ. sympos. on material science in space, Grenoble, 1979.
2. Napolitano L. G., Golia C. Marangoni boundary layers. Applications of space developments: Select. pap. 31st Intern. astronaut. congr., Tokyo, 1980 // Acta astronaut. — 1981. — V. 8, N 5—6.
3. Cowley S. J., Davis S. H. Viscous thermocapillary convection at high Marangoni number // J. Fluid Mech. — 1983. — V. 135, N 3.
4. Puknachov V. V. Boundary layers near free surface // Computational and asymptotic methods for boundary and interior layers. — Dublin: Bool. Press, 1982.
5. Кузнецов В. В. О существовании пограничного слоя вблизи свободной границы // Динамика сплошной среды: Сб. науч. тр./АН СССР, Сиб. отд-ние, Ин-т гидродинамики. — 1984. — Вып. 67.
6. Батищев В. А. Об асимптотике течений маловязкой жидкости при действии касательных напряжений на свободной границе // ПМТФ. — 1987. — № 5.
7. Вишник М. А., Люстерник Л. А. Регулярное вырождение и пограничный слой для линейных дифференциальных уравнений с малым параметром // УМН. — 1957. — Т. 12, № 5.
8. Солонников В. А. Разрешимость трехмерной задачи со свободной границей для

- стационарных систем уравнений Навье—Стокса // Зап. науч. семинаров Ленингр. отд-ния Мат. ин-та им. В. А. Стеклова.— 1979.— Т. 84, № 5.
9. Moffat H. K. Viscous and resistive eddies near a sharp corner // J. Fluid Mech.— 1964.— V. 18, N 1.

г. Ростов-на-Дону

Поступила 20/I 1989 г.

УДК 532.529+66.069.8+622.0

Ф. М. Султанов, А. Л. Ярин

## ПЕРКОЛЯЦИОННАЯ МОДЕЛЬ ПРОЦЕССА ДИСПЕРГИРОВАНИЯ И ВЗРЫВНОГО ДРОБЛЕНИЯ ЖИДКИХ СРЕД: РАСПРЕДЕЛЕНИЕ КАПЕЛЬ ПО РАЗМЕРАМ

Теоретический анализ деформаций жидкых сред в процессах диспергирования и взрывного дробления сводится к очень сложной задаче о нерегулярных движениях, которая в общем случае не может быть решена точно. В настоящей работе делается попытка связать хаотическое (взрывное) разрушение жидкых сред с процессом распада бесконечного кластера, изученным в теории перколоции. Теоретическим путем найдено распределение капель по размерам. При плоском характере процесса разрушения полученные результаты приводят к известным эмпирическим соотношениям (закону Розина — Раммлера и распределению Вейбулла), в пространственном случае имеются отклонения от них. Проведено также экспериментальное исследование процесса дробления концентрированной полимерной упруговязкой жидкости при электрическом взрыве проводника в цилиндрическом объеме жидкости. Экспериментальные данные в целом удовлетворительно соответствуют результатам теоретического анализа.

1. Объектами исследования являются следующие жидкости: ньютоновские (в частном случае, идеальные), обладающие поверхностным напряжением, и полимерные, обладающие внутренней энтропийной упругостью [1]. Для достаточно концентрированных ( $\geq 1\%$ ) упруговязких полимерных жидкостей поверхностное напряжение, как правило, несущественно, поскольку практически всегда выполняется условие  $Ga_0/\alpha \gg 1$  ( $G$  — модуль высокоэластичности,  $\alpha$  — коэффициент поверхностного напряжения,  $a_0$  — наименьший характерный размер, подробно обсуждаемый ниже).

Пусть в некоторый момент  $t = 0$  произвольному ограниченному жидкому объему с характерным размером  $R_0$  сообщается (скажем, при взрыве в его центре) кинетическая энергия  $E_0$ . Речь идет прежде всего о ситуациях, возникающих при электрическом взрыве проводника или ВВ внутри ограниченного жидкого объема (см. [2—4], а также далее п. 3). В подобных случаях есть несколько причин, которые могут практически мгновенно привести (и, в соответствии с данными экспериментов, приводят) к нерегулярному хаотическому деформационному движению жидких частиц, предшествующему разрушению жидкого объема и способствующему его разрушению. Одна из них — несовершенство формы, или неоднородность взрывающейся проволочки или ВВ, ведущая к начальной нерегулярности поля скоростей. Другая причина связана с тем, что расширение взрывной полости сопровождается неустойчивостью Рэлея — Тейлора [5—7], представляющей собой первый этап возникновения нерегулярного движения. При дальнейшем развитии этого вида неустойчивости движение все более усложняется и хаотизируется (на нелинейной стадии роста возмущений в жидкости возникают вихревые образования на вершинах образующихся «пальцев»). В какой-то степени разрушение сплошного объема среды само по себе — свидетельство наличия в ней нерегулярных деформационных движений, а возможное дальнейшее усиление хаотического характера движения на стадии существования отдельных капель, по-видимому (при разлете в вакууме), связано с тем, что «проявляющиеся» все новые моды уже присутствовали